

# Выделение сигнала на основе критерия Monte Carlo SSA

Потешкин Е.П., СПбГУ, Санкт-Петербург egor.poteshkin@yandex.ru,  
Голяндина Н.Э., СПбГУ, Санкт-Петербург n.golyandina@spbu.ru

## Аннотация

Рассматриваются методы анализа сингулярного спектра (SSA) и Monte Carlo SSA (MC-SSA) для решения задач обнаружения и выделения сигналов во временных рядах. Предложены три подхода к восстановлению сигнала: адаптивный, полуадаптивный и метод с фиксированной проекцией. Для оценки частоты сигнала используется метод MC-SSA. Проведен численный эксперимент, сравнивающий точность восстановления при различных уровнях шума, типах сигнала и значениях параметра  $\delta$ , определяющего длину частотного интервала при отборе компонент. Результаты показывают, что полуадаптивный вариант является универсальным выбором, наиболее устойчивым к наличию амплитудной модуляции.

## Введение

Рассмотрим следующую модель:  $X = S + R$ , где  $X$  — наблюдаемый временной ряд,  $S$  — сигнал,  $R$  — шум, т.е. реализация некоторого стационарного процесса. В работе рассматриваются две проблемы: проблема обнаружения сигнала  $S$  и проблема выделения сигнала при его наличии.

Для решения первой проблемы используется метод Monte Carlo SSA (MC-SSA) [1], проверяющий гипотезу  $H_0 : S = 0$ , а для решения второй — метод анализа сингулярного спектра (singular spectrum analysis, SSA) [2, 3]. Один из шагов SSA подразумевает визуальный анализ для определения компонент сигнала, поэтому возникает потребность в автоматизации этого шага, этой проблеме посвящены, например, работы [4, 5]. Целью работы является определение подходов к автоматическому выделению сигнала на основе критерия MC-SSA и их сравнение по точности его выделения.

## Метод SSA

### *Базовый алгоритм*

Пусть  $X = (x_1, \dots, x_N)$ ,  $x_i \in \mathbb{R}$ , — временной ряд длины  $N$ . Зафиксируем параметр  $L$ ,  $1 < L < N$ , называемый длиной окна и построим так называемый

мую траекторную матрицу  $\mathbf{X} = [X_1 : \dots : X_K]$ , состоящую из  $K = N - L + 1$  векторов вложения  $X_i = (x_i, \dots, x_{i+L-1})^T \in \mathbb{R}^L$ .

Следующий шаг — разложение в сумму матриц единичного ранга  $\mathbf{X} = \sum_{i=1}^d \mathbf{X}_i$ . В базовом SSA используется сингулярное разложение матрицы  $\mathbf{X}$ .

Далее компоненты полученного матричного разложения группируются, и каждая сгруппированная матрица преобразуется во временной ряд. Таким образом, результатом SSA является разложение временного ряда.

### ***SSA с проекцией***

Метод SSA использует адаптивный базис, но существует возможность зафиксировать некоторые компоненты разложения. Пусть  $\mathbf{D} \in \mathbb{R}^{L \times m}$  — матрица, столбцы которой мы хотим зафиксировать в разложении  $\mathbf{X}$ . Тогда SSA с проекцией отличается от базового алгоритма только шагом разложения:

1. В случае, если столбцы матрицы  $\mathbf{D}$  не ортонормированны,  $\mathbf{D}$  приводится к нужному виду путем ортогонализации Грамма-Шмидта.
2. Вычисляется матрица  $\mathbf{C} = \mathbf{D}\mathbf{D}^T\mathbf{X}$ .
3. Вычисляется матрица  $\mathbf{X}^* = \mathbf{X} - \mathbf{C}$ .
4. Матрица  $\mathbf{X}^*$  раскладывается в сумму матриц ранга 1.

### **Метод Monte Carlo SSA**

Рассмотрим задачу поиска сигнала во временном ряде. Модель временного ряда имеет вид

$$\mathbf{X} = \mathbf{S} + \boldsymbol{\xi},$$

где  $\mathbf{S}$  — сигнал,  $\boldsymbol{\xi}$  — стационарный процесс с нулевым средним. Тогда нулевая гипотеза  $H_0 : \mathbf{S} = 0$  и альтернатива  $H_1 : \mathbf{S} \neq 0$ .

Зафиксируем длину окна  $L$  и обозначим траекторную матрицу ряда  $\boldsymbol{\xi}$  как  $\boldsymbol{\Xi}$ . Рассмотрим вектор  $\mathbf{W} \in \mathbb{R}^L$  единичной длины, называемый проекционным вектором. Введем величину

$$p = \|\boldsymbol{\Xi}^T \mathbf{W}\|^2.$$

Статистикой критерия является величина

$$\hat{p} = \|\mathbf{X}^T \mathbf{W}\|^2.$$

Распределение статистики критерия оценивается с помощью моделирования согласно нулевой гипотезе, отсюда и название метода.

Если вектор  $W$  — синусоида с частотой  $\omega$ , то  $\hat{p}$  отражает вклад частоты  $\omega$  в исходный ряд. Так как частота ожидаемого сигнала неизвестна, то необходимо рассматривать несколько векторов  $W_k$ ,  $k = 1, \dots, H$ . Решение возникающей при этом проблемы множественного тестирования рассматривается в [6]. Гипотеза об отсутствии сигнала отвергается, если хотя бы для одного вектора  $W = W_k$  значение  $\hat{p}$  оказывается значимым.

Еще одним параметром MC-SSA является способ выбора векторов  $W_k$ . В данной работе в качестве векторов для проекции берутся косинусы с равностоящими частотами  $\omega_k = k/(2L)$ ,  $k = 1, \dots, L$ .

## Подходы к выделению сигнала

Для ряда  $X$  длины  $N$  и  $0 \leq \omega_1 \leq \omega_2 \leq 0.5$  определим меру [7]

$$T(X; \omega_1, \omega_2) = \frac{1}{\|X\|^2} \sum_{k: \omega_1 \leq k/N \leq \omega_2} I_N(k/N),$$

где  $I_N$  — периодограмма  $X$ . Величину  $T(X, \omega_1, \omega_2)$  можно рассматривать как долю вклада частот, содержащегося в интервале  $[\omega_1, \omega_2]$ .

В данной работе будем считать, что сигнал представляет из себя экспоненциально-модулированную гармонику:

$$S = \{Ae^{\alpha n} \cos(2\pi\omega n)\}_{n=1}^N,$$

где  $\omega \in (0, 0.5)$ . Пусть  $\hat{\omega}$  — оценка  $\omega$ . Обозначим

$$D_1 = \begin{pmatrix} \cos(2\pi\hat{\omega}1) \\ \dots \\ \cos(2\pi\hat{\omega}L) \end{pmatrix}, D_2 = \begin{pmatrix} \sin(2\pi\hat{\omega}1) \\ \dots \\ \sin(2\pi\hat{\omega}L) \end{pmatrix} \in \mathbb{R}^L.$$

Рассмотрим следующие варианты выделения сигнала  $S$  по частоте  $\hat{\omega}$ :

1. «adaptive»: применить SSA и выбрать первые две компоненты разложения, у которых мера  $T$  на интервале  $[\hat{\omega} - \delta, \hat{\omega} + \delta]$ ,  $\delta > 0$ , больше некоторого порога  $T_0 \in [0, 1]$ ;
2. «semi-adaptive»: применить SSA с проекцией с  $D = D_1 \in \mathbb{R}^{L \times 1}$  и выбрать, помимо компоненты, соответствующей вектору  $D_1$ , первую компоненту разложения, у которой мера  $T$  на интервале  $[\hat{\omega} - \delta, \hat{\omega} + \delta]$ ,  $\delta > 0$ , больше некоторого порога  $T_0 \in [0, 1]$ ;

3. «fixed»: применить SSA с проекцией  $\mathbf{D} = [D_1 : D_2] \in \mathbb{R}^{L \times 2}$  и выбрать компоненты разложения, соответствующие векторам  $D_1, D_2$ .

Оценивать частоту  $\omega$  будем с помощью MC-SSA:

1. Найти индекс наиболее значимой частоты, т.е.  $k = \operatorname{argmax}_i (\hat{p}_i - c_i)$ , где  $c_i$  — верхняя граница доверительного интервала для  $\hat{p}_i$ ;
2. Вычислить значение  $\hat{\omega}$  как взвешенное среднее частот  $\omega_{k-1}, \omega_k, \omega_{k+1}$  с весами  $w_i = \max(0, \hat{p}_i - c_i)$ ;

Такой способ оценки позволяет получить более точную оценку  $\omega$  в случае, когда она не попадает в решетку  $k/(2L)$ .

### *Численное сравнение подходов*

Проведем численный эксперимент с целью понять, какой из предложенных способов восстановления сигнала наиболее точен. Пусть  $N = 99$ , процесс  $\xi$  — модель AR(1) с параметрами  $\phi = 0.7$ ,  $\sigma^2 \in \{0.2, 0.4, 0.6, 0.8, 1\}$ . Для SSA  $L = 50$ , для MC-SSA  $L = \tilde{L} = 40$  (выводы устойчивы к выбору длины окна). В вариантах «adaptive» и «semi-adaptive»  $\delta = 0.025$  и  $T_0 = 0.5$ . Рассмотрим два типа сигнала  $S$ , один из которых является частным случаем другого:

1.  $\alpha = 0, A = 1$  — гармоника с постоянной амплитудой.
2.  $\alpha = 0.05, A = 0.025$  — экспоненциально-модулированная гармоника.

Возьмем  $\omega = 0.115$ . Заметим, что при таком выборе частоты сигнала  $\tilde{L}$  не делится на  $\omega$ , а значит  $\omega$  не попадает в решетку  $k/(2\tilde{L})$ .

На рис. 1 изображена зависимость MSE восстановления сигнала от дисперсии белого шума  $\sigma^2$ . По графикам видно, что в случае постоянной амплитуды ( $\alpha = 0$ ) выигрывает вариант «fixed», однако в случае непостоянной амплитуды фиксированный базис оказывается наихудшим. Полуадаптивный базис, являясь неким компромиссом между адаптивным и фиксированным базисами, оказывается вторым по точности в случае  $\alpha = 0$  и сравнимым с адаптивным в случае  $\alpha \neq 0$ .

Теперь посмотрим, как будут изменяться ошибки при уменьшении/увеличении  $\delta$  для фиксированного  $\tilde{L}$ . На рис. 2  $\delta$  уменьшена, а на рис. 3 увеличена в два раза ( $\delta = 0.0125$  и  $0.05$  соответственно). Из этих графиков видно, что слишком маленькое  $\delta$  приводит к ухудшению точности адаптивного и полуадаптивного вариантов в случае  $\alpha \neq 0$ . Связано это с тем, что частота

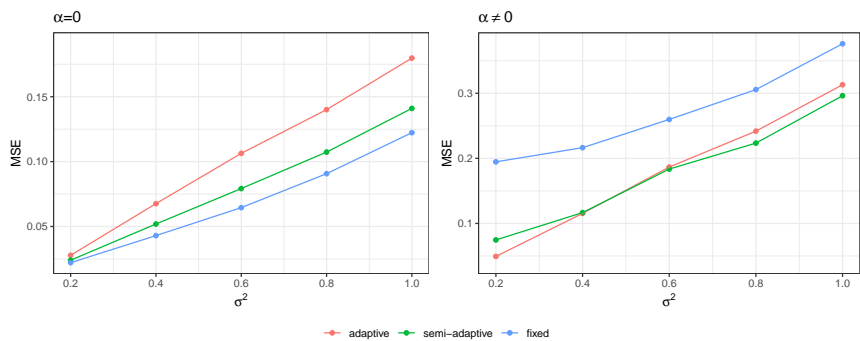


Рис. 1: MSE восстановления сигнала ( $\delta = 0.025$ )

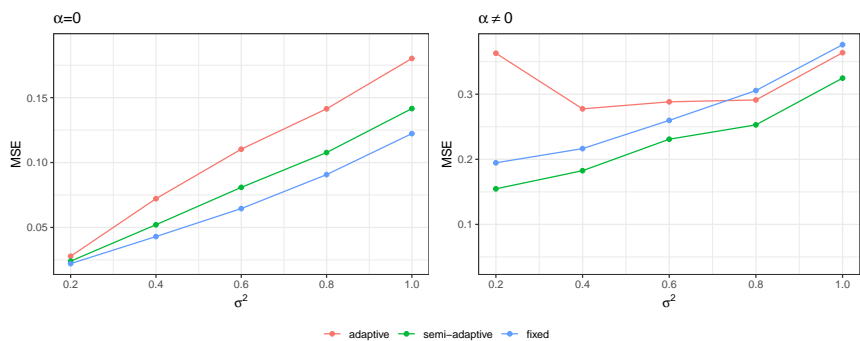


Рис. 2: MSE восстановления сигнала ( $\delta = 0.0125$ )

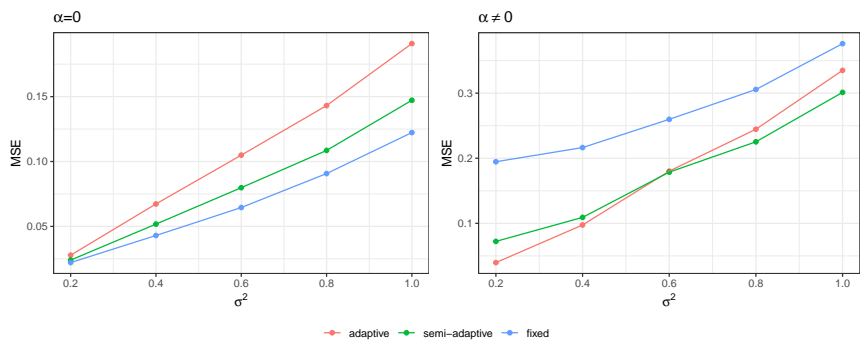


Рис. 3: MSE восстановления сигнала ( $\delta = 0.05$ )

экспоненциально-модулированной гармонике, в отличие от гармонике с постоянной амплитудой, всегда растекается по спектру и чем больше значение показателя экспоненты  $\alpha$ , тем сильнее это растекание. Увеличение  $\delta$  в два раза не привело к значительному изменению точности методов, однако, если и дальше увеличивать  $\delta$ , ошибки, как и в случае слишком маленького  $\delta$ , опять возрастут.

## **Заключение**

В статье рассмотрены три подхода к автоматическому выделению сигнала во временных рядах с использованием критерия MC-SSA и метода анализа сингулярного спектра. Исследование показало, что полуадаптивный вариант может быть использован в качестве базового в ситуации, когда неизвестно наличие или отсутствие амплитудной модуляции. Для выбора параметра  $\delta$  нужно делать предположения о силе модуляции. Заметим, что при выборе длины окна для MC-SSA нужно учитывать сочетание мощности критерия и точности оценивания частоты.

## **Список литературы**

- [1] Allen M., Smith L. Monte Carlo SSA: detecting irregular oscillations in the presence of coloured noise // *Journal of Climate*. — 1996. — Vol. 9. — P. 3373–3404.
- [2] Broomhead D., King G. Extracting qualitative dynamics from experimental data // *Physica D: Nonlinear Phenomena*. — 1986. — Vol. 20, no. 2–3. — P. 217–236.
- [3] Golyandina N., Nekrutkin V., Zhigljavsky A. *Analysis of Time Series Structure: SSA and Related Techniques*. — Chapman and Hall/CRC, 2001.
- [4] Kalantari M., Hassani. H. Automatic grouping in singular spectrum analysis // *Forecasting*. — 2019. — Vol. 1, no 1. — P. 189–204.
- [5] Bogalo J., Poncela P., Senra E. Circulant singular spectrum analysis: A new automated procedure for signal extraction // *Signal Processing*. — 2021. — Vol. 179.
- [6] Golyandina N. Detection of signals by Monte Carlo singular spectrum analysis: multiple testing // *Statistics and Its Interface*. — 2023. — Vol. 16, no 1. — P. 147–157.

- [7] Golyandina N., Korobeynikov A., Zhigljavsky A. Singular spectrum analysis with R. — Springer, 2018.